УДК 547.7/.8: 547.057

# ВЗАИМОДЕЙСТВИЕ *о*-ФОРМИЛБЕНЗОЙНОЙ КИСЛОТЫ С ГИДРАЗИДАМИ ПИРИДИНОВЫХ И ГИДРОКСИБЕНЗОЙНЫХ КИСЛОТ

© 2023 г. О. А. Нуркенов<sup>1,2</sup>, С. Д. Фазылов<sup>1,\*</sup>, И. В. Кулаков<sup>3</sup>, Т. М. Сейлханов<sup>4</sup>, А. Ж. Мендибаева<sup>1,2</sup>, А. К. Сыздыков<sup>1,2</sup>, С. К. Кабиева<sup>2</sup>

<sup>1</sup> Институт органического синтеза и углехимии Республики Казахстан, ул. Алиханова 1, Караганда, 110000 Казахстан 
<sup>2</sup> Карагандинский индустриальный университет, Темиртау, 101400 Казахстан 
<sup>3</sup> Институт химии Тюменского государственного университета, Тюмень, 625003 Россия 
<sup>4</sup> Кокшетауский университет имени Ш. Уалиханова, Кокшетау, 020000 Казахстан 
\*e-mail: iosu8990@mail.ru

Поступило в редакцию 5 июля 2023 г. После доработки 31 июля 2023 г. Принято к печати 31 июля 2023 г.

Взаимодействие гидразидов никотиновой и изоникотиновой кислот с o-формилбензойной кислотой в этаноле приводит к образованию соответствующих гидразонов. Установлено, что o-формилбензойная кислота реагирует в альдегидной форме с гидразидами, образуя гидразоны. При нагревании в уксусном ангидриде последние гладко циклизуются в 3-ацетоксиизоиндолин-1-оны. Исследовано строение синтезированных соединений методами ЯМР  $^{1}$ Н и  $^{13}$ С, COSY ( $^{1}$ H $^{-1}$ H), HMQC ( $^{1}$ H $^{-13}$ C) и HMBC ( $^{1}$ H $^{-13}$ C) спектроскопии. Изучена антирадикальная и антивирусная активность синтезированных новых гидразонов и 3-ацетоксиизоиндолин-1-онов, среди которых выявлено соединение с широким спектром вирусоингибирующего действия по отношению к штаммам вируса A.

**Ключевые слова**: гидразиды (изо)никотиновой кислоты, гидразоны, o-формилбензойная кислота, 3-ацетоксиизоиндолин-1-оны, антивирусная активность

DOI: 10.31857/S0044460X23090020, EDN: WXMLYG

Соединения, содержащие в своей структуре гидразидный фрагмент, являясь достаточно хорошо изученными, широко используются в различных отраслях науки, техники и медицины. Несмотря на большое число публикаций по синтезу различных гидразидных производных, их свойствам и строению, они и в настоящее время перспективны для дальнейшего изучения и усовершенствования [1–6]. Особый интерес представляют гидразиды никотиновой, изоникотиновой, о- и *п*-гидроксибензойной кислот и их производные, до сих пор используемые в качестве важных субстратов при разработке многих медицинских препаратов, обладающих противотуберкулезными, обезболивающими и спазмолитическими свойствами [7–11].

Ранее нами на основе гидразидов *о-* и *п*-гидроксибензойной и изоникотиновой кислот и синтетически доступных ацетилзамещенных гетероциклов – 3-ацетил-2*H*-хромен-2-она, 2-ацетил-3*H*-бензо[*f*]-хромен-3-она и 2,6-метано-бензо[*g*][1,3,5]оксадиазоцина – был синтезирован ряд новых гидразонов, которые проявили хорошие антибактериальные и антиоксидантные свойства [12–15]. Следует также отметить, что данные гидразиды широко используются не только для синтеза гидразонов, но и, например, тиосемикарбазидных производных, которые являются важными синтонами для построения многих S,N-содержащих гетероциклов [16–20]. На основе гидразидов изоникотиновой кислоты синтезировано множество различных производных с ши-

Схема 1.

рокой вариацией противотуберкулезной активности [21–25]. Однако проблема лекарственной устойчивости многих патогенных бактерий и вирусов к применяемым для лечения лекарственным средствам требует постоянного поиска и расширения арсенала новых высокоэффективных и низкотоксичных препаратов. В решении данной проблемы гидразоны никотиновой и изоникотиновой кислот до сих пор служат материнской основой в поиске новых противотуберкулезных средств.

В последние годы появился ряд интересных сообщений об использовании изоиндолинона и изобензофуранона в качестве строительных блоков для синтеза различных конденсированных гетероциклических систем [26]. Среди наиболее известных лекарственных препаратов на основе изоиндолинового ядра, следует упомянуть препарат леналидомид (оригинальное лекарственное средство «Ревлимид», схема 1), который относится к представителям нового класса противоопухолевых иммуномодуляторов и проявляет мощное иммуномодулирующее и антиангиогенное действие [27, 28]. Следует отметить, что препарат «Ревлимид» входит в перечень жизненно необходимых и важнейших лекарственных препаратов РФ.

Одним из соединений, которое можно с успехом использовать для построения изоиндолинового каркаса, является *о*-формилбензойная кислота, способная к кольчато-цепной таутомерии. Она в твердом состоянии существует преимущественно в закрытой форме, а в растворах существует в виде смеси открытой (1a) и циклической 3-гидроксифталидной (1б) формах (схема 2). Возросший в последнее время интерес химиков к этому соединению объясняется его высокой реакционной способностью и большим разнообразием получаемых из него продуктов, многие из которых проявляют биологическую активность [26]. Поэтому изуче-

Схема 2.

ние новых синтетических возможностей o-формилбензойной кислоты остается актуальным до сих пор.

о-Формилбензойная кислота, являясь гидроксильным аналогом фталида, в отличие от него, имеет 2 электрофильных центра  $C^1$  и  $C^3$  и в большинстве случаев реагирует с нуклеофилами по атому С<sup>3</sup>. Следует отметить, что о-формилбензойная кислота 1 образует с первичными ароматическими аминами аминофталиды, сохраняя циклическую структуру [26]. Циклическую аминофталидную структуру имеют и продукты ее взаимодействия с производными 2-аминотиофена [29]. В работе [30] описана реакция 2-аминопирролов с о-формилбензойной кислотой, где целевые продукты оказались основаниями Шиффа, т. е. производными раскрытой формы о-формилбензойной кислоты. В литературе также описаны основания Шиффа о-формилбензойной кислоты с производными *n*-фенилендиамина [31]. В реакции с гидразидом антраниловой кислоты о-формилбензойная кислота образует соответствующий гидразон, т. е. производное с раскрытой таутомерной формой 1а [32]. В работе [33] описывается синтез и реакции 3-формилизоникотиновой кислоты с ациклическими и алициклическими вторичными аминами. Показано, что данное взаимодействие приводит к образованию 3-диалкиламино 4-галогенфуро [3,4-c]пиридин-1(3H)-онов с выходами 71-84%.

В продолжение этих исследований и с целью расширения арсенала биоактивных соединений нами изучено взаимодействие *о*-формилбензойной кислоты с гидразидами никотиновой (2), изоникотиновой (3), *о*- и *n*-гидроксибензойной (4 и 5) кислот. Реакцию конденсации осуществляли путем нагревания эквимольных количеств исходных реагентов в среде этилового спирта при 60–70°С в течение 3–5 ч (схема 3).

#### Схема 3.

Состав и строение соединений 6-9 подтвержлены данными ИК. ЯМР <sup>1</sup>Н и <sup>13</sup>С. COSY (<sup>1</sup>H–<sup>1</sup>H) и НМОС (1H-13C) спектроскопии. Спектр ЯМР <sup>1</sup>Н соединения **6** характеризуется присутствием ароматических протонов фрагментов бензойной и никотиновой кислот в области 7.46-9.18 м. д. Сигналы протонов H11 и H9 регистрируются при 8.70 и 12.18 м. д. соответственно. В спектре ЯМР <sup>13</sup>С соединения 6 наблюдаются сигналы ароматических углеродных атомов фрагментов бензойной и никотиновой кислот. Сигнал углеродного атома С11 регистрируется при 152.78 м. д. Карбонильные и карбоксильные углеродные атомы  $C^7$  и  $C^{18}$  резонируют при 162.51 и 168.58 м. д. соответственно. В спектрах  ${}^{1}H-{}^{1}H$  COSY соединения 6 наблюдаются спин-спиновые корреляции через три связи протонов соседних метин-метиновых ароматиче-

ских групп (рис. 1). Установлены гетероядерные взаимодействия протонов с атомами углерода через одну связь с помощью спектроскопии  $^{1}H^{-13}C$  HMQC и гетероядерные взаимодействия протонов с атомами углерода через две и более связей с помощью спектроскопии  $^{1}H^{-13}C$  HMBC.

Проведено ацилирование гидразонов 6–8 уксусным ангидридом (схема 4). Установлено, что реакция включает присоединение  $Ac_2O$  по связи C=N и последующую циклизацию с отщеплением уксусной кислоты и образованием фталимидинов 10–12. Отмечено, что реакция протекает гладко только в присутствии некоторого количества уксусной кислоты. Со свежеперегнанным ангидридом реакция протекает существенно хуже и с более низкими выходами. В случае гидразона 9

#### Схема 4.

$$\begin{array}{c}
\mathbf{6} \xrightarrow{\text{Ac}_2\text{O}} & \begin{array}{c}
\text{MeO} & \text{O} & \text{O} \\
\text{N} & \text{N} & \text{N} & \text{N} \\
\text{H} & \text{OOH} & \text{C(O)Me}
\end{array}$$

$$\begin{array}{c}
\text{Ac}_2\text{O} & \text{N} & \text{N}$$

образуются гигроскопичные смолообразные продукты реакции, выделить которые не удалось.

Строение синтезированных фталимидинов **10–12** было также однозначно подтверждено данными ИК, ЯМР  $^{1}$ Н и  $^{13}$ С, COSY ( $^{1}$ H $^{-1}$ H) и HMQC ( $^{1}$ H $^{-13}$ C) спектроскопии. Так, в спектре ЯМР  $^{1}$ H соединения **11** присутствует синглетный сигнал при 2.11 м. д. протонов ацетильного фрагмента  $H^{23}$ . Ненасыщенный протон  $H^{11}$  проявляется дублетом при 7.06 м. д. с  $^{3}$ J 2.0 Гц. Сигналы пиридинового и ароматического колец регистрируются в области 7.62–8.77 м. д. Гидразиновый протон

 ${
m H}^9$  резонирует синглетом при 11.31 м. д. В спектре ЯМР  $^{13}{
m C}$  соединения **11** сигналы ацетатных углеродных атомов проявляются при 21.33 ( ${
m C}^{23}$ ) и 170.94 ( ${
m C}^{20}$ ) м. д. Сигналы углеродных атомов ароматических колец регистрируются в характерных областях. Карбонильные углеродные атомы  ${
m C}^7$  и  ${
m C}^{18}$  проявляются при 165.14 и 166.08 м. д. соответственно. В спектрах  $^{1}{
m H}^{-1}{
m H}$  COSY соединения **11** наблюдаются спин-спиновые корреляции через три связи протонов соседних метин-метиновых пиридиновых групп (рис. 2). Гетероядерные взаимодействия протонов с атомами углерода через

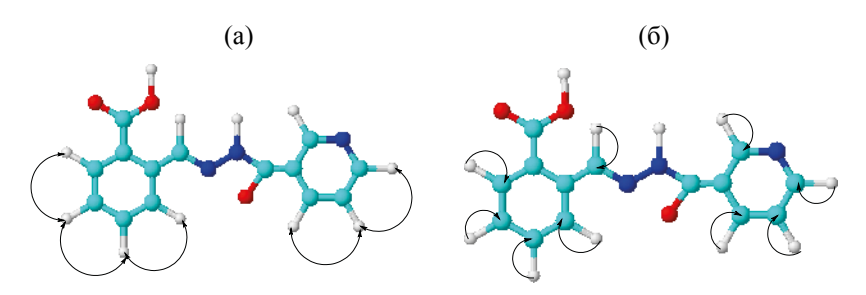


Рис. 1. Схема корреляций в спектрах COSY (a) и HMQC (б) соединения 6.

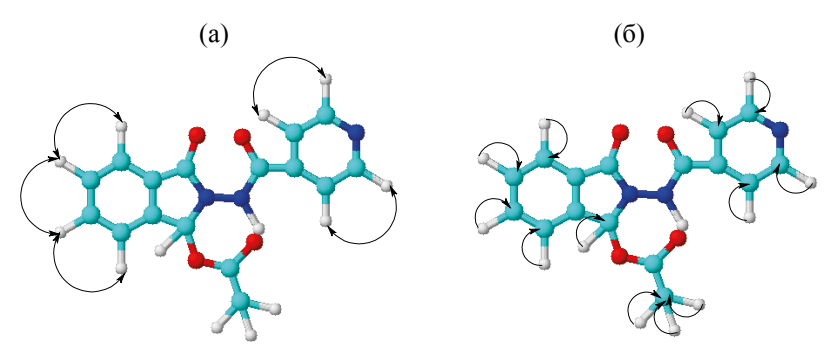


Рис. 2. Схема корреляций в спектрах COSY (a) и HMQC (б) соединения 11.

одну связь установлены с помощью спектроскопии  $^{1}\text{H}-^{13}\text{C}$  HMQC.

В целях практического применения синтезированных соединений изучена антирадикальная и антивирусная активность некоторых из них. Антирадикальное действие представленных образцов исследовали в отношении радикала 2,2-дифенил-1-пикрилгидразила (DPPH\*). В условиях данной модельной тест-системы ни одно из исследуемых соединений 6–9 антирадикальной активности не проявило.

При изучении антивирусной активности 2-[(2-изоникотиноилгидразоно)метил]бензойной кислоты 7 показано, что данное соединение отличается широким спектром вирусингибирующего действия по отношению к штаммам вируса гриппа А/Алматы/8/98 (H3N2) и А/Владивосток/2/09 (H1N1). Установлено, что данное соединение значительно превосходит по активности коммерческие препараты (тамифлю и ремантадин) независимо от антигенной структуры гриппа и его чувствительности к противовирусным препаратам (табл. 1).

Таким образом, показано, что взаимодействие гидразидов пиридинкарбоновых и гидроксибензойных кислот с о-формилбензойной кислотой в среде этанола приводит к образованию соответствующих гидразонов. Установлено, что *о*-формилбензойная кислота реагирует в альдегидной форме с гидразидами, образуя гидразоны. При нагревании в уксусном ангидриде последние гладко циклизуются в 3-ацетоксиизоиндолин-1-оны.

# ЭКСПЕРИМЕНТАЛЬНАЯ ЧАСТЬ

ВЭЖХ-МС-Анализ выполняли на хроматографе Agilent 1260 Infinity II, сопряженном с масс-спектрометром высокого разрешения Agilent 6545 LC/Q-TOF с источником ионизации Dual AJS ESI, работающем в режиме регистрации положительных ионов. Хроматографическое разделение осуществляли на колонках ZORBAX RRHD Eclipse Plus C18 (2.1×50 мм, размер частиц 1.8 мкм). Температура колонки в ходе анализа поддерживалась равной 35°С. Подвижная фаза формировалась элюентами А и В. В режиме положительной ионизации в качестве элюента А применялся 0.1%-ный раствор

Таблица 1. Вирусингибирующая активность соединения 7 по отношению к вирусам гриппа

Препарат	Химический терапевтический индекс препарата	
	A/Алматы/8/98 (H3N2)	А/Владивосток/2/09 (H1N1)
2-[(2-Изоникотиноилгидразоно)метил]бензойная кислота (7)	65.0	70.0
Тамифлю	10.3	11.0
Ремантадин	29.9	30

муравьиной кислоты в деионизированной воде, в качестве элюента В применялся 0.1%-ный раствор муравьиной кислоты в ацетонитриле. Хроматографическое разделения выполняли при элюировании по следующей схеме: 0–10 мин 95% А, 10–13 мин 100% В, 13–15 мин 95% А. Скорость потока подвижной фазы на протяжении анализа поддерживали равной 400 мкл/мин. Во всех экспериментах объем ввода образца составлял 1 мкл. Пробу готовили растворением в метаноле (для ВЭЖХ) всего образца (в 1000 мкл). Разведение пробы осуществлялось непосредственно перед анализом. Зарегистрированные данные обрабатывали в программном Agilent MassHunter 10.0.

Спектры ЯМР  $^{1}$ Н и  $^{13}$ С снимали на спектрометре JNM-ECA Jeol 400 (399.78 и 100.53 МГц соответственно) с использованием ДМСО- $d_6$ . Химические сдвиги измеряли относительно сигналов остаточных протонов или атомов углерода дейтерированного растворителя. ИК спектры записывали на ИК Фурье-спектрометре ФСМ 1201 в таблетках КВг в области  $400-4000~{\rm cm}^{-1}$ . Элементный анализ выполняли на приборе Euro Vector Elemental Analyser. Температуры плавления определяли на приборе SMP10. TCX-Анализ выполняли на пластинках Silufol UV-254, проявляли парами иода.

2-[(2-Никотиноилгидразоно)метил]бензой**ная кислота (6).** К смеси 2.74 г (0.02 M.) гидразида никотиновой кислоты в 20 мл этанола добавляли при перемешивании 3 г (0.02 М.) 2-карбоксибензальдегида в 30 мл этанола. Реакционную смесь перемешивали при 60°C в течение 2 ч, затем охлаждали до комнатной температуры. Осадок отфильтровывали, промывали, сушили и перекристаллизовывали из изопропанола. Выход 5.23 г (97%), белый порошок, т. пл. 220–222°С. ИК спектр (KBr), v, см<sup>-1</sup>: 3414 (NH), 1697 (CO<sub>амил</sub>), 1601 (C=N), 1601 (аром.). Спектр ЯМР <sup>1</sup>Н, δ, м. д. (*J*, Гц): 5.02 уш. с  $(1H, H^{20}), 7.46-7.51 \text{ m} (2H, H^{3,13}), 7.59 \text{ T} (1H, H^{15})$  $^{3}J$  7.4), 7.86–7.88 м (1H, H<sup>14</sup>), 8.05 д (1H, H<sup>16</sup>,  $^{3}J$ 7.6), 8.24 д (1H, H<sup>4</sup>,  ${}^{3}J$  7.6), 9.06 с (1H, H<sup>6</sup>), 9.18 с (1H, H<sup>2</sup>), 8.70 с (1H, H<sup>11</sup>), 12.18 с (1H, H<sup>9</sup>). Спектр ЯМР <sup>13</sup>С,  $\delta_C$ , м. д.: 123.99 (С<sup>3</sup>), 127.27 (С<sup>16</sup>), 129.61  $(C^5)$ , 130.22  $(C^{13})$ , 130.84  $(C^{14})$ , 131.32  $(C^{17})$ , 132.48  $(C^{15})$ , 134.94  $(C^{12})$ , 136.07  $(C^4)$ , 147.96  $(C^2)$ , 149.17  $(C^6)$ , 152.78  $(C^{11})$ , 162.51  $(C^7)$ , 168.58  $(C^{18})$ . Спектр ЯМР COSY:  $H^{13} \rightarrow H^{15}$ ,  $H^{13} \rightarrow H^{14}$ ,  $H^{15} \rightarrow H^{16}$ ,  $H^{3} \rightarrow H^{4}$ .  $H^{13} \rightarrow H^{11}$ ,  $H^6 \rightarrow H^2$ . Chektp SMP HMOC:  $H^3 \rightarrow C^3$ ,  ${\rm H^{13}\!\!\to\!\!C^{13},\ H^{15}\!\!\to\!\!C^{15},\ H^{16}\!\!\to\!\!C^{16},\ H^{14}\!\!\to\!\!C^{14},\ H^{4}\!\!\to\!\!C^{4},}$   ${\rm H^{2}\!\!\to\!\!C^{2},\ H^{11}\!\!\to\!\!C^{11},\ H^{6}\!\!\to\!\!C^{6}.\ C$ пектр ЯМР НМВС:  ${\rm H^{11}\!\!\to\!\!C^{3},\ H^{2}\!\!\to\!\!C^{4},\!C^{2},\ H^{20}\!\!\to\!\!C^{18}.\ Macc-c$ пектр, m/z  $(I_{\rm oth},\%)$ : 270.125 (100)  $[M+H]^{+}.$ 

2-[(2-Изоникотиноилгидразоно)метил]бензойная кислота (7) получена аналогично из 2.74 г (0.02 М.) гидразида изоникотиновой кислоты и 3 г (0.02 М.) 2-карбоксибензальдегида. Выход 4.97 г (92%), белый порошок, т. пл. 205-206°С. ИК спектр (КВr), v, см<sup>-1</sup>: 3425 (NH), 1655 (СО<sub>амил</sub>), 1608 (C=N), 1547 (аром.). Спектр ЯМР <sup>1</sup>Н,  $\delta$ , м. д.  $(J, \Gamma_{\rm H})$ : 7.49–7.51 м (1H, H<sup>15</sup>), 7.60–7.62 м (1H, H<sup>13</sup>),  $7.80 \text{ c} (2H, H^{3.5}), 7.86-7.89 \text{ m} (1H, H^{14}), 8.02-8.05 \text{ m}$  $(1H, H^{16})$ , 8.73 с  $(2H, H^{2,6})$ , 9.18 д  $(1H, H^{11}, {}^{3}J 5.2)$ , 12.25 c (1H, H<sup>9</sup>), 12.08 c (1H, H<sup>20</sup>). Спектр ЯМР <sup>13</sup>С,  $\delta_{\rm C}$ , M. A.: 127.27 (C<sup>16</sup>), 130.43 (C<sup>17</sup>), 130.88 (C<sup>15</sup>), 131.33 (C<sup>13</sup>), 134.88 (C<sup>12</sup>), 122.14 (C<sup>3,5</sup>), 148.36 (C<sup>4</sup>),  $150.83 (C^{2,6}), 148.36 (C^{11}), 162.34 (C^{7}), 168.55 (C^{18}).$ Спектр ЯМР COSY:  $H^{15} \rightarrow H^{13}$ ,  $H^{15} \rightarrow H^{14}$ ,  $H^{13} \rightarrow H^{16}$ .  $H^{3,5} \rightarrow H^{2,6}$ . Спектр ЯМР НМОС:  $H^{3,5} \rightarrow C^{3,5}$  $H^{15} \rightarrow C^{15}, H^{13} \rightarrow C^{13}, H^{14} \rightarrow C^{14}, H^{16} \rightarrow C^{16}, H^{2,6} \rightarrow C^{2,6},$  $H^{11} \rightarrow C^{11}$ . Спектр ЯМР HMBC:  $H^{3,5} \rightarrow C^{2,6}$ .  $C^7$ :  $H^{2,6} \rightarrow C^{3,5}$ ,  $C^4$ ;  $H^{\bar{1}1} \rightarrow C^{12}$ ,  $C^{16}$ ;  $H^{19} \rightarrow C^7$ ,  $C^{11}$ . Maccспектр, m/z ( $I_{\text{отн}}$ %): 270.142 (100) [M + H]<sup>+</sup>.

2-[(2-Гидроксибензоилгидразоно)метил]бензойная кислота (8) получена аналогично из 3.04 г (0.02 М.) 2-гидроксибензгидразида и 3 г (0.02 М.) 2-карбоксибензальдегида. Выход 5.1 г (91%), белый порошок, т. пл. 224–226°С. ИК спектр (КВг), v, cm<sup>-1</sup>: 3425 (NH), 1655 (CO<sub>2MMI</sub>), 1608 (C=N), 1547 (аром.). Спектр ЯМР <sup>1</sup>Н, δ, м. д. (*J*, Гц): 7.49–7.51  $M(1H, H^{15}), 7.60-7.62 M(1H, H^{13}), 7.80 c(2H, H^{3,5}),$ 7.86-7.89 m (1H, H<sup>14</sup>), 8.02-8.05 m (1H, H<sup>16</sup>), 8.73c (2H, H<sup>2,6</sup>), 9.18 д (1H, H<sup>11</sup>, <sup>3</sup>J 5.2), 12.25 с (1H,  $H^9$ ), 12.08 с (1H,  $H^{20}$ ). Спектр ЯМР <sup>13</sup>С,  $\delta_C$ , м. д.:  $127.27 (C^{16}), 130.43 (C^{17}), 130.88 (C^{15}), 131.33 (C^{13}),$  $134.88 (C^{12}), 122.14 (C^{3,5}), 148.36 (C^4), 150.83 (C^{2,6}),$ 148.36 (С<sup>11</sup>), 162.34 (С<sup>7</sup>), 168.55 (С<sup>18</sup>). Спектр ЯМР COSY:  $H^{15} \rightarrow H^{13}$ ,  $H^{15} \rightarrow H^{14}$ ,  $H^{13} \rightarrow H^{16}$ ,  $H^{3,5} \rightarrow H^{2,6}$ . Спектр ЯМР НМОС:  $H^{3,5} \rightarrow C^{3,5}$ ,  $H^{15} \rightarrow C^{15}$  $H^{13} \rightarrow C^{13}, H^{14} \rightarrow C^{14}, H^{16} \rightarrow C^{16}, H^{2,6} \rightarrow C^{2,6}, H^{11} \rightarrow C^{11}.$ Спектр ЯМР НМВС:  $H^{3,5} \rightarrow C^{2,6}$ .  $C^7$ :  $H^{2,6} \rightarrow C^{3,5}$ .  $C^4$ ;  $H^{11} \rightarrow C^{12}$ ,  $C^{16}$ ;  $H^{19} \rightarrow C^7$ ,  $C^{11}$ . Macc-спектр, m/z $(I_{\text{OTH}}\%)$ : 285.253 (70)  $[M + H]^+$ .

**2-[(4-Гидроксибензоилгидразоно)метил]бен- зойная кислота (9)** получена аналогично из 3.04 г (0.02 М.) 4-гидроксибензгидразида и 3 г (0.02 М.) 2-карбоксибензальдегида. Выход 4.8 г (85%), бе-

лый порошок, т. пл. 227–229°С. Спектр ЯМР  $^{1}$ Н,  $\delta$ , м. д. (J,  $\Gamma$ ц): 3.51 уш. с (1H,  $H^{21}$ ), 6.82–6.85 м (2H,  $H^{2.6}$ ), 7.43–7.46 м (1H,  $H^{15}$ ), 7.54–7.58 м (1H,  $H^{16}$ ), 7.80–7.85 м (3H,  $H^{3.5,14}$ ), 8.02 с (1H,  $H^{17}$ ), 9.12 с (1H,  $H^{12}$ ), 10.08 уш. с (1H,  $H^{7}$ ), 11.80 с (1H,  $H^{10}$ ). Спектр ЯМР  $^{13}$ С,  $\delta$ <sub>С</sub>, м. д.: 115.42 и 115.60 ( $C^{2.6}$ ), 124.33 ( $C^{4}$ ), 127.12 ( $C^{17}$ ), 129.97 ( $C^{15}$ ), 130.76 ( $C^{3.5}$ ), 131.15 ( $C^{18}$ ), 132.32 ( $C^{16}$ ), 135.33 ( $C^{13}$ ), 146.27 ( $C^{12}$ ), 161.24 ( $C^{1}$ ), 163.66 ( $C^{8}$ ), 168.65 ( $C^{19}$ ). Спектр ЯМР СОЅҮ:  $C^{15}$   $C^{16}$   $C^{16}$   $C^{16}$   $C^{15}$   $C^{15}$ 

2-(Никотинамидо)-3-оксоизоиндолин-1-илацетат (10). Смесь 1.15 г (0.0042 М.) гидразона 6 и 2.5 мл Ас<sub>2</sub>О нагревали до растворения и кипятили 3 мин, затем охлаждали и добавляли смесь 5 мл МеОН и 15 мл Н<sub>2</sub>О. Выделившееся масло постепенно кристаллизовалось при охлаждении льдом и растирании. Осадок отфильтровывали, промывали петролейным эфиром и сушили. Выход 0.88 г (68%), желтоватое густое масло. ИК спектр (КВг), v, см<sup>-1</sup>: 3418 (NH), 1678 (CO<sub>амил</sub>), 1740 (CO), 1593 (аром.). Спектр ЯМР <sup>1</sup>Н, δ, м. д. (*J*, Гц): 3.50 уш. c (1H,  $H^{21}$ ), 6.89–6.93 m (2H,  $H^{2,4}$ ), 7.39 c (1H,  $H^3$ ), 7.49–7.50 м (1H, H<sup>15</sup>), 7.60 с (1H, H<sup>16</sup>), 7.87–7.88 м  $(2H, H^{5,14}), 8.03-8.04 \text{ m} (1H, H^{17}), 9.17 \text{ c} (1H, H^{12}),$ 12.02 с (1H,  $H^{10}$ ), 11.89 уш. с (1H,  $H^7$ ). Спектр ЯМР <sup>13</sup>С,  $\delta_C$ , м. д.: 116.08 (С<sup>6</sup>), 117.94 (С<sup>2</sup>), 119.42 (С<sup>4</sup>),  $127.35 (C^{17}), 128.92 (C^{5}), 130.26 (C^{14}), 130.85 (C^{15}),$  $131.34 (C^{18}), 132.49 (C^{16}), 134.52 (C^3), 134.94 (C^{13}),$  $148.27 (C^{12})$ ,  $159.99 (C^1)$ ,  $165.95 (C^8)$ ,  $168.54 (C^{19})$ , Спектр ЯМР COSY:  $H^{15} \rightarrow H^{16}$ .  $H^4 \rightarrow H^3$ .  $H^{15} \rightarrow H^{14}$ .  $H^{16} \rightarrow H^{17}$ ,  $H^4 \rightarrow H^5$ . Спектр ЯМР HMQC:  $H^2 \rightarrow C^2$ ,  $H^4 \rightarrow C^4$ ,  $H^{15} \rightarrow C^{15}$ ,  $H^3 \rightarrow C^3$ ,  $H^{16} \rightarrow C^{16}$ ,  $H^{17} \rightarrow C^{17}$ .  $H^5 \rightarrow C^5$ ,  $H^{14} \rightarrow C^{14}$ ,  $H^{12} \rightarrow C^{12}$ . Спектр ЯМР НМВС:  $H^2 \rightarrow C^6$ .  $C^4$ :  $H^5 \rightarrow C^1$ :  $H^{17} \rightarrow C^{18}$ :  $H^{12} \rightarrow C^{17}$ .  $C^{13}$ :  $H^{10} \rightarrow C^8$ 

**2-(Изоникотинамидо)-3-оксоизоиндолин-1-илацетат (11)** получен аналогично из 1.15 г (0.0042 М.) гидразона **7**, 2.5 мл Ас<sub>2</sub>О, 5 мл МеОН и 15 мл H<sub>2</sub>О. Выход 0.94 г (72%), светло-желтый порошок, т. пл. 136–138°С. ИК спектр (КВг), v, см<sup>-1</sup>: 3449 (NH), 1682 (СО<sub>амид</sub>), 1743 (СО), 1593 (аром.). Спектр ЯМР  $^{1}$ Н,  $\delta$ , м. д. (J,  $\Gamma$ ц): 2.11 с (3H,  $H^{23}$ ), 7.06 д (1H,  $H^{11}$ ,  $^{3}J$  2.0), 7.62–7.83 м (6H,  $H^{3,5,13-16}$ ),

8.77 д (2H,  $H^{2,6}$ ,  $^3J$  4.4), 11.31 с (1H,  $H^9$ ). Спектр ЯМР  $^{13}$ С (CDCl<sub>3</sub>),  $\delta_{\rm C}$ , м. д.: 21.33 ( ${\rm C}^{23}$ ), 121.94 ( ${\rm C}^{3,5}$ ), 124.13 ( ${\rm C}^{16}$ ), 125.13 ( ${\rm C}^{15}$ ), 129.59 ( ${\rm C}^{17}$ ), 131.30 ( ${\rm C}^{14}$ ), 134.36 ( ${\rm C}^{13}$ ), 139.18 ( ${\rm C}^4$ ), 151.17 ( ${\rm C}^{2,6}$ ), 165.14 ( ${\rm C}^7$ ), 166.08 ( ${\rm C}^{18}$ ), 170.94 ( ${\rm C}^{20}$ ). Спектр ЯМР СОЅҮ:  ${\rm H}^{3,5}{\to}{\rm H}^{2,6}$ . Спектр ЯМР НМQС:  ${\rm H}^{23}{\to}{\rm C}^{23}$ ,  ${\rm H}^{13}{\to}{\rm C}^{13}$ ,  ${\rm H}^{14}{\to}{\rm C}^{14}$ ,  ${\rm H}^{16}{\to}{\rm C}^{16}$ ,  ${\rm H}^{11}{\to}{\rm C}^{11}$ ,  ${\rm H}^{3,5}{\to}{\rm C}^{3,5}$ ,  ${\rm H}^{2,6}{\to}{\rm C}^{2,6}$ . Спектр ЯМР НМВС:  ${\rm H}^{23}{\to}{\rm C}^{20}$ ;  ${\rm H}^{11}{\to}{\rm C}^{13}$ ,  ${\rm C}^{12}$ ,  ${\rm C}^{20}$ ;  ${\rm H}^{2,6}{\to}{\rm C}^{3,5}$ ,  ${\rm C}^4$ ;  ${\rm H}^9{\to}{\rm C}^7$ .

2-(2-Гидроксибензамидо)-3-оксоизоиндолин-1-илацетат (12) получен аналогично из 1.15 г (0.0042 M.) гидразона **8**, 2.5 мл Ac<sub>2</sub>O, 5 мл MeOH и 15 мл H<sub>2</sub>O. Выход 0.94 г (72%), белый порошок, т. пл. 142-144°C. ИК спектр (КВr), у, cm<sup>-1</sup>: 3449 (NH), 1682 (CO<sub>2MHI</sub>), 1743 (CO), 1593 (аром.). Спектр ЯМР <sup>1</sup>Н, δ, м. д. (*J*, Гц): 1.90–2.29 M (3H, H<sup>23</sup>), 6.60–6.71 M (2H, H<sup>19,21</sup>), 6.99–7.33 M $(4H, H^{2,22,6,5}), 7.46-7.56 \text{ m} (1H, H^4), 7.67-7.72 \text{ m}$ (2H, H<sup>7,20</sup>), 10.23 c (1H, H<sup>10</sup>), 11.26 ym. c (1H, H<sup>24</sup>). Спектр ЯМР  $^{13}$ С (CDCl<sub>3</sub>),  $\delta_{\rm C}$ , м. д.: 20.94 (С $^{23}$ ),  $81.43 (C^2)$ ,  $112.31 (C^{17})$ ,  $118.11 (C^{21})$ ,  $119.24 (C^{19})$ ,  $123.52 (C^6)$ ,  $124.17 (C^7)$ ,  $129.85 (C^5)$ ,  $130.56 (C^{20})$ ,  $132.73 (C^4)$ ,  $133.46 (C^8)$ ,  $135.08 (C^{22})$ ,  $140.02 (C^3)$ ,  $165.67 (C^{11}), 167.87 (C^{9}), 169.80 (C^{18}), 170.86 (C^{14}).$ Спектр ЯМР COSY:  $H^{21} \rightarrow H^{22}$ ,  $H^{21} \rightarrow H^{20}$ ,  $H^6 \rightarrow H^5$ .  $H^6 \rightarrow H^7$ . Спектр ЯМР HMQC:  $H^{23} \rightarrow C^{23}$ ,  $H^7 \rightarrow C^7$ ,  $H^2 \rightarrow C^2$ ,  $H^{20} \rightarrow C^{20}$ ,  $H^6 \rightarrow C^6$ ,  $H^{21} \rightarrow C^{21}$ ,  $H^5 \rightarrow C^5$ .  $H^{22} \rightarrow C^{22}$ ,  $H^4 \rightarrow C^4$ . Спектр ЯМР HMBC:  $H^{23} \rightarrow C^{14}$ ;  $H^{10} \rightarrow C^{11}: H^{24} \rightarrow C^{18}$ 

Вирусингибирующая активность 2-[(2-изоникотиноилгидразоно)метил]бензойной кислоты 7 для определения химического терапевтического индекса (ХТИ) исследована в концентрации от 0.0016 до 0.2%, что соответствовало дозам 0.003—0.4 мг на куриный эмбрион (0.06—8 мг/кг) (табл. 1).

# ИНФОРМАЦИЯ ОБ АВТОРАХ

Нуркенов Оралгазы Актаевич, ORCID: https://orcid.org/0000-0003-1878-2787

Фазылов Серик Драхметович, ORCID: https://orcid.org/0000-0002-4240-6450

Кулаков Иван Вячеславович, ORCID: https://orcid.org/0000-0001-5772-2096

Сейлханов Тулеген Муратович, ORCID: https://orcid.org/0000-0003-0079-4755

Мендибаева Анель Жанатовна, ORCID: https://orcid.org/0000-0001-6123-3340

ЖУРНАЛ ОБЩЕЙ ХИМИИ том 93 № 9 2023

# ФИНАНСОВАЯ ПОДДЕРЖКА

Работа выполнена при финансовой поддержке Комитета науки Министерства науки и высшего образования РК (грант № AP14869941).

## КОНФЛИКТ ИНТЕРЕСОВ

Авторы заявляют об отсутствии конфликта интересов.

## СПИСОК ЛИТЕРАТУРЫ

- Mali S.N., Thorat B.R., Gupta D.R., Pandey A. // Eng. Proc. 2021. Vol. 11. P. 21. doi 10.3390/ ASEC2021-11157
- Verma G., Marella A., Shaquiquzzaman M., Akhtar M., Ali M.R., Alam M.M. // J. Pharm. Bioallied Sci. 2014. Vol. 6. N 2. P. 69. doi 10.4103/0975-7406.129170
- 3. Кулаков И.В., Нуркенов О.А., Газалиева М.А., Жаугашева С.К., Исакова Ж.О. // Хим.-фарм. ж. 2007. № 11. С. 52; *Kulakov, I.V., Nurkenov, O.A., Gazalieva, M.A., Zhaugasheva, S.K., Isakova, Zh.O.* // Pharm. Chem. J. 2007. Vol. 41. N 11. P. 620. doi 10.1007/ s11094-008-0020-2
- 4. Федоряк С.Д., Присяжнюк П.В., Сидорчук И.И. // Хим.-фарм. ж. 1982. № 1. С. 48; Fedoriak S.D., Prisiajniuk P.V., Sidorchuk I.I. // Pharm. Chem. J. 1982. N 16. N 1. P. 37. doi 10.1007/bf00761608
- Alam M.S., Choi S.-U., Lee D.-U. // Bioorg. Med. Chem. 2017. Vol. 25. N 1. P. 389. doi 10.1016/j. bmc.2016.11.005
- 6. Palamarchuk I.V, Shulgau Z.T., Dautov A.Y., Sergazy Sh.D., Kulakov I.V. // Org. Biomol. Chem. 2022. Vol 20. P. 8962. doi 10.1039/D2OB01772E
- Hussein M.A., Aboul-Fadl T., Hussein A. // Bull. Pharm. Sci. Assiut University. 2005. Vol. 28. P. 131. doi 10.21608/БΦCA.2005.65240.
- 8. Koçyiğit-Kaymakçıoğlu B., Elçin Oruç-Emre E., Unsalan S., Rollas S. // Med. Chem. Res. 2008. Vol. 18. P. 277. doi 10.1007/s00044-008-9126-z
- 9. *Yang Z., Li P., Gan X.* // Molecules. 2018. Vol. 23. P. 1798. doi 10.3390/molecules23071798
- Олешук А.Л., Карбаинова А.А., Криворучко Т.Н., Шульгау З.Т., Сейлханов Т.М., Кулаков И.В. // ХГС.
   2019. Т. 55. № 1. С. 47; Oleshchuk A.L., Karbainova A.A., Krivoruchko T.N., Shulgau Z.T., Seilkhanov T.M., Kulakov I.V. // Chem. Heterocycl. Compd.
   2019. Vol. 55. P. 47. doi 10.1007/s10593-019-02417-5
- Stalinskaya A.L., Martynenko N.V., Alkhimova L.E., Dilbaryan D.S., Vasilchenko A.S., Dengis N.A., Vlasenko V.S., Kulakov I.V. // J. Mol. Struct. 2023. Vol. 1275. Article 134689. doi 10.1016/j.molstruc.2022.134689

- 12. *Коленко Д.И.* // Наука и современность. 2012. № 17.
- 13. Нуркенов О.А., Сатпаева Ж.Б., Щепеткин И.А., Фазылов С.Д., Сейлханов Т.М., Ахметова С.Б. // ЖОХ. 2017. Т. 87. Вып. 8. С. 1295; Nurkenov О.А., Satpaeva Zh.B., Shchepetkin I.A., Fazylov S.D., Seilkhanov T.M., Akhmetova S.B. // Russ. J. Gen. Chem. 2017. Vol. 87. P. 1707. doi 10.1134/S1070363217080114
- 14. Нуркенов О.А., Сатпаева Ж.Б., Щепеткин И.А., Хлебников А.И., Турдыбеков К.М., Сейлханов Т.М., Фазылов С.Д. // ЖОХ. 2017. Т. 87. Вып. 10. С. 1639; Nurkenov O.A., Satpaeva Zh.B., Schepetkin I.A., Khlebnikov A.I., Turdybekov K.M., Seilkhanov T.M., Fazylov S.D. // Russ. J. Gen. Chem. 2017. Vol. 87. P. 2299. doi 10.1134/S1070363217100097
- 15. *Тютюгина А.В., Андреева О.В., Гариева Ф.Р.* // Вестн. Казанск. техн. унив. 2012. Т. 15. № 12. С. 119.
- Manian A.K., Khadse B.G., Sengupta S.R. // Indian J. Chem. (B). 1993. Vol. 328. N 3. P. 407. https://www.researchgate.net/publication/294655043
- Arquero A., Canadas M., Martinez-Ripoll M., Mendiola M.A., Rodriguez A. // Tetrahedron. 1998. N 54. P. 11271. doi 10.1016/S0040-4020(98)00667-X
- 18. Кораблев М.В. Производные дитиокарбамидных кислот. Химия, токсикология, фармакология и клиническое применение. Минск: Беларусь, 1971. С. 152.
- Мельников Н.Н. Производные тио- и дитиокарбаминовых кислот. М.: Химия, 1960. С. 195.
- 20. Gazaliev A.M., Nurkenov O.A., Turdybekov K.M., Fazylov S.D., Ibraev M.K., Turdybekov D.M., Issabaeva M.B. // Mendeleev Commun. 2006. Vol. 16. P. 243. doi 10.1070/MC2006v016n04ABEH002211
- Popolek L., Biernasik A., Berecka A., Gumieniczek A., Malm A., Wules M. // Chem. Biol. Drug Design. 2018. Vol. 91. N 4. P. 915. doi 10.1111/cbdd.13158
- Fazylov S.D., Nurkenov O.A., Seilkhanov T.M., Karipova G.Zh., Van Hecke K., Suleimen Ye.M., Gazaliyev A.M. // Bull. Karaganda Univ. Chem. Ser. 2019. N 3(95). P. 44. doi 10.31489/2019Ch3/37-44
- Naveen Kumar H., Jummat F., Asmawi M.Z. // Med. Chem. Res. 2014. Vol. 23. P. 269. doi 10.1007/s00044-013-0632-2
- 24. Нуркенов О.А., Карипова Г.Ж., Сейлханов Т.М., Сатпаева Ж.Б., Фазылов С.Д., Нухулы А. // ЖОХ. 2019. Т. 89. Вып. 9. С. 1457; Nurkenov О.А., Karipova G.Z., Seilkhanov T.M. // Russ. J. Gen. Chem. 2019. Vol. 89. P. 1923. doi 10.1134/S1070363219090299
- Машковский М.Д. Лекарственные средства. Москва: Новая волна, 2012. С. 856.
- 26. Ухин Л.Ю., Супоницкий К.Ю., Белоусова Л.В., Орлова Ж.И. // Изв. АН. Сер. хим. 2009. № 12. C. 2399; Ukhin L.Yu., Suponitsky L.Yu., Belousova L.V.,

- *Orlova Zh.I.* // Russ. Chem. Bull. 2009. Vol. 58. P. 2478. doi 10.1007/s11172-009-0347-1
- https://www.lgcstandards.com/US/en/Lenalidomide/p/ MM3641.00-0250
- 28. 28.https://www.accessdata.fda.gov/drugsatfda\_docs/nda/2005/021880s000 RevlimidTOC.cfm
- 29. *Ukhin L.Yu.*, *Suponitsky L.Yu.*, *Shepelenko E.N.*, *Belousova L.V.*, *Borodkin G.S.* // Tetrahedron Lett. 2012. Vol. 53. P. 67. doi 10.1016/j.tetlet.2011.10.147
- 30. Ухин Л.Ю., Красников В.В., Зайченко С.Б., Бородкин Г.С., Грибанова Т.Н., Шепеленко Е.Н., Этметченко Л.Н. // Изв. АН. Сер. хим. 2015. № 2. С. 410; Ukhin L.Yu., Krasnikov В.В., Zaichenko С.В., Borodkin G.S., Gribanova T.N., Shepelenko E.N., Etmetchenko L.N. // Russ. Chem. Bull. 2015. Vol. 64. P. 410. doi 10.1007/s11172-015-0877-7
- 31. Ухин Л.Ю., Шепеленко Е.Н., Белоусова Л.В., Орлова Ж.И., Бородкин Г.С., Супоницкий К.Ю. // Изв. АН. Сер. хим. 2011. № 2. С. 345; Ukhin L.Yu., Shepelenko E.N., Belousova L.V., Orlova Zh.I., Borodkin G.S., Suponitsky K.Yu. // Russ. Chem. Bull. 2011. № 2. P. 365. doi 10.1007/s11172-011-0057-3
- 32. Ухин Л.Ю., Кузьмина Л.Г., Грибанова Т.Н., Белоусова Л.В., Орлова Ж.И. // Изв. АН. Сер. хим. 2008. № 11. С. 2294; Ukhin L.Yu., Kuzmina L.G., Gribanova T.N., Belousova L.V., Orlova Zh.I. // Russ. Chem. Bull. 2008. Vol. 57. P. 2340. doi 10.1007/s11172-008-0333-z.
- 33. Федосеев С.В., Беликов М.Ю., Ершов О.В. // ЖОрХ. 2020. Т. 56. № 1. С. 65; Fedoseev S.V., Belikov M.Yu., Ershov O.V. // Russ. J. Org. Chem. 2020. Vol. 56. N 1. P. 49. doi 10.31857/S0514749220010085

# Reaction of o-Formylbenzoic Acid with Hydrazides of (Iso)Niconitic and Hydroxybenzoic Acids

O. A. Nurkenov<sup>a,b</sup>, S. D. Fazylov<sup>a,\*</sup>, I. V. Kulakov<sup>c</sup>, T. M. Seilkhanov<sup>d</sup>, A. Zh. Mendibayeva<sup>a,b</sup>, A. K. Syzdykov<sup>a,b</sup>, and S. K. Kabieva<sup>b</sup>

<sup>a</sup> Institute of Organic Synthesis and Carbon Chemistry of the Republic of Kazakhstan, Karaganda, 110000 Kazakhstan
 <sup>b</sup> Karaganda Industrial University, Temirtau, 101400 Kazakhstan
 <sup>c</sup> Institute of Chemistry of Tyumen State University, Tyumen, 625003 Russia
 <sup>d</sup> Sh. Ualikhanov Kokshetau University, Kokshetau, 020000 Kazakhstan
 \*e-mail: iosu8990@mail.ru

Received July 5, 2023; revised July 31, 2023; recepted July 31, 2023

The reaction of nicotinic and isonicotinic acid hydrazides with *o*-formyl benzoic acid in ethanol led to the formation of the corresponding hydrazones. It was found that *o*-formyl benzoic acid reacted in aldehyde form with hydrazides to form hydrazones. When heated in acetic anhydride, the latter are smoothly cyclized into 3-acetoxyisoindoline-1-ones. Structure of the synthesized compounds was proved by <sup>1</sup>H and <sup>13</sup>C NMR spectroscopy data. Antiradical and antiviral activity of the synthesized hydrazones and 3-acetoxyisoindoline-1-ones was studied. A compound with a wide spectrum of virus-inhibiting action against strains of the A virus was identified.

**Keywords:** (iso)nicotinic acid hydrazides, hydrazones, *o*-formylbenzoic acid, 3-acetoxyisoindoline-1-ones, antiviral activity